

# Резонансная флуоресценция двухуровневого атома в цепи обратной связи

*В. А. Томилин<sup>1)</sup>, Л. В. Ильичев*

*Институт автоматики и электрометрии Сибирского отд. РАН, Новосибирск, Россия  
Новосибирский государственный университет, 630090 Новосибирск, Россия*

Поступила в редакцию 1 сентября 2011 г.

Рассчитан спектр резонансной флуоресценции двухуровневого атома в классическом световом поле, фаза которого с помощью системы обратной связи меняется на  $\pi$  после регистрации очередного спонтанного фотона. Спектр имеет некоторое сходство с известным триплетом Раутиана–Моллоу. Однако, боковые компоненты приобретают резкую асимметрию при ненулевой отстройке частоты светового поля от резонанса с частотой перехода атома. Кроме того, спектр сохраняет выраженную триплетную форму даже за пределами секулярного приближения, когда боковые компоненты в структуре Раутиана–Моллоу в отсутствие обратной связи становятся неразличимыми.

**Введение.** Обратная связь является основным элементом кибернетических устройств различных сложности и назначения. В то же время обратная связь может появляться почти естественным образом, как это имеет место при лазерной генерации [1]. Этот пример интересен тем, что обратная связь осуществляется в квантовой системе. Развитие квантовой информатики сделало актуальным изучение разнообразных квантовых систем с обратной связью. При этом особую специфику приобретают открытые квантовые системы, обменивающиеся с окружением энергией и информацией, по причине фундаментальной случайности исхода квантовых измерений. Как показано в [2], контроль квантовой системы с помощью цепи обратной связи позволяет “стабилизировать” возможные исходы квантового измерения на единственном значении. Обратная связь позволяет приготавливать суперпозиции макроскопически различимых состояний излучения [3]. Организация обратной связи в квантооптических системах с помощью гомодинного детектирования части испущенного системой излучения предложена Вайсманом и Милбурном. Она составляет содержание работ [4]. В частности, данный метод позволяет эффективно управлять параметрами сжатия излучения, испущенного резонансно-флуоресцирующим двухуровневым атомом [5], а также стабилизировать атом в выбранном чистом квантовом состоянии в условиях несовершенного детектирования и других декогерирующих факторов [6]. В рамках теории квантовых стохастических процессов создана общая теория сетей [7], элементы которых соединены каналами передачи

информации с помощью бозонных полей, реализующих, в частности, цепи обратной связи.

Во многих упомянутых работах в роли квантовой системы, контролируемой цепью обратной связи, выступает элементарный излучатель – атом или молекула. Имеющиеся технологии позволяют проводить эксперименты с единичными частицами. Примером может служить работа [8], посвященная подавлению канала светоиндированных распада молекулы путем выключения лазера при попадании молекулы в состояние, из которого возможен распад. Под действием такой искусственной обратной связи происходит значительная качественная модификация процесса распада. Представляет интерес исследование именно этого аспекта: как и в какой степени изменяется картина хорошо известных физических процессов с элементарными излучателями при помещении их в цепь обратной связи. Для простейшей системы – двухуровневого атома с дипольным переходом в оптическом диапазоне – таким процессом является резонансная флуоресценция. С помощью обратной связи испущенные спонтанные фотонны модифицируют параметры монохроматического излучения, накаивающего атом. Модификация фазы квантованного излучения – изменение ее на  $\pi$  – при регистрации каждого спонтанного кванта фигурировала в [9], где теоретически исследуется взаимодействие атома с полем в суперпозиции пары глауберовских состояний с противоположными амплитудами (состояние “кошки Шредингера”). Изменение фазы служит для восстановления когерентности суперпозиции, разрушающейся при взаимодействии с атомом. В [9] не рассматривался важный вопрос о спектре резонансной флуоресценции в столь необычной ситуации, т.к. считалось, что все спонтанные фотонны задействова-

<sup>1)</sup> e-mail: 8342tomilin@mail.ru

ны в цепи обратной связи. Можно, однако, считать, что малая доля испущенных фотонов подвергается спектральным измерениям. Именно это предполагается в настоящей работе. При этом рассматривается более простая ситуация *классического* накачивающего поля.

**Модель.** Рассматривается взаимодействие двухуровневого атома (основное состояние  $|g\rangle$ , возбужденное  $|e\rangle$ ) с классическим монохроматическим световым полем. Переключение фазы светового поля на  $\pi$  (т.е. изменение ее знака) в результате регистрации спонтанно испущенного фотона предполагает наличие классического параметра  $\sigma$ , принимающего значения 0 или 1 в зависимости от четности числа зарегистрированных за период наблюдения фотонов. Параметр  $\sigma$  описывает состояние некоторого классического устройства, задающего фазу поля. Описание эволюции атома требует рассмотрения совместного состояния атома и данного классического устройства. Здесь необходимо иметь дело с парой статистических операторов,  $\hat{\varrho}^{(0)}(t)$  и  $\hat{\varrho}^{(1)}(t)$ , таких, что  $\hat{\varrho}(t) = \hat{\varrho}^{(0)}(t) + \hat{\varrho}^{(1)}(t)$  есть обычный статистический оператор атома, а  $p_\sigma(t) = \text{Tr } \hat{\varrho}^{(\sigma)}(t)$  есть вероятность нахождения классического устройства в состоянии  $\sigma$ . Эволюция операторов  $\hat{\varrho}^{(0)}(t)$  и  $\hat{\varrho}^{(1)}(t)$  оказывается связанной:

$$\begin{aligned} \frac{d}{dt}\hat{\varrho}^{(0)}(t) &= \\ = -i[\hat{H}^{(0)}, \hat{\varrho}^{(0)}(t)] + \gamma\hat{s}_-\hat{\varrho}^{(1)}(t)\hat{s}_+ - \frac{\gamma}{2}\{\hat{s}_+\hat{s}_-, \hat{\varrho}^{(0)}(t)\}, \\ \frac{d}{dt}\hat{\varrho}^{(1)}(t) &= \\ = -i[\hat{H}^{(1)}, \hat{\varrho}^{(1)}(t)] + \gamma\hat{s}_-\hat{\varrho}^{(0)}(t)\hat{s}_+ - \frac{\gamma}{2}\{\hat{s}_+\hat{s}_-, \hat{\varrho}^{(1)}(t)\}. \end{aligned} \quad (1)$$

Здесь

$$\hat{H}^{(\sigma)} = \Delta\hat{s}_0 + (-1)^\sigma\Omega(\hat{s}_+ + \hat{s}_-) \quad (2)$$

есть гамильтониан взаимодействия атома с полем в режиме определенной фазы последнего,  $\hat{s}_+ = |e\rangle\langle g|$ ,  $\hat{s}_- = |g\rangle\langle e|$ ,  $\hat{s}_0 = (|e\rangle\langle e| - |g\rangle\langle g|)/2$ ,  $\Delta$  – разность частоты перехода атома и частоты поля,  $\Omega$  – частота Рabi,  $\gamma$  – скорость спонтанного распада, фигурные скобки обозначают антисимметрическую операцию. Факт переключения фазы поля в результате регистрации спонтанного кванта отражен в структуре членов прихода (т.н. сэндвичных слагаемых) в правых частях уравнений. Именно посредством этих слагаемых эволюция операторов  $\hat{\varrho}^{(0)}(t)$  и  $\hat{\varrho}^{(1)}(t)$  оказывается связанной. Предполагается, что переключение фазы поля происходит быстро по сравнению с характерным масштабом времени эволюции этих статистических операторов, ко-

торое задается параметрами  $\Delta$ ,  $\Omega$  и  $\gamma$ . Благодаря этому мы можем анализировать процесс в рамках марковских уравнений.

Согласно уравнениям (1) все спонтанно испущенные кванты задействованы в цепи обратной связи как инициаторы переключения фазы поля. При этом предполагается, что регистрация каждого кванта есть хорошо локализованное во времени событие, имеющее в идеале нулевую длительность. Естественно, что при таких условиях некорректно ставить вопрос о частотах зарегистрированных фотонов. Можно предположить, что некая малая доля спонтанных квантов не используется в цепи обратной связи и подвергается спектральным измерениям. Малость этой доли предполагает возможность не учитывать ее влияние на эволюцию, задаваемую уравнениями (1). Результаты спектральных измерений данного малого сигнала понимаются нами как спектр резонансной флуоресценции атома в цепи обратной связи.

Из системы (1) стандартным преобразованием исключена быстрая явная гармоническая зависимость классического поля от времени. Аналогичный прием в отсутствие фазовых переключений позволяет связать форму центрированного в нуле спектра  $S(\omega)$  стационарной резонансной флуоресценции со средним от операторов атома известным соотношением:

$$S(\omega) \propto \text{Re} \int_0^\infty e^{i\omega t} \text{Tr}[\hat{s}_+(t)\hat{s}_-\hat{\varrho}_{st}] dt, \quad (3)$$

где  $\hat{s}_+(t)$  – гейзенберговский оператор, а  $\hat{\varrho}_{st}$  – стационарная матрица плотности атома. При наличии обратной связи гейзенберговские операторы приобретают зависимость от параметра  $\sigma$ :

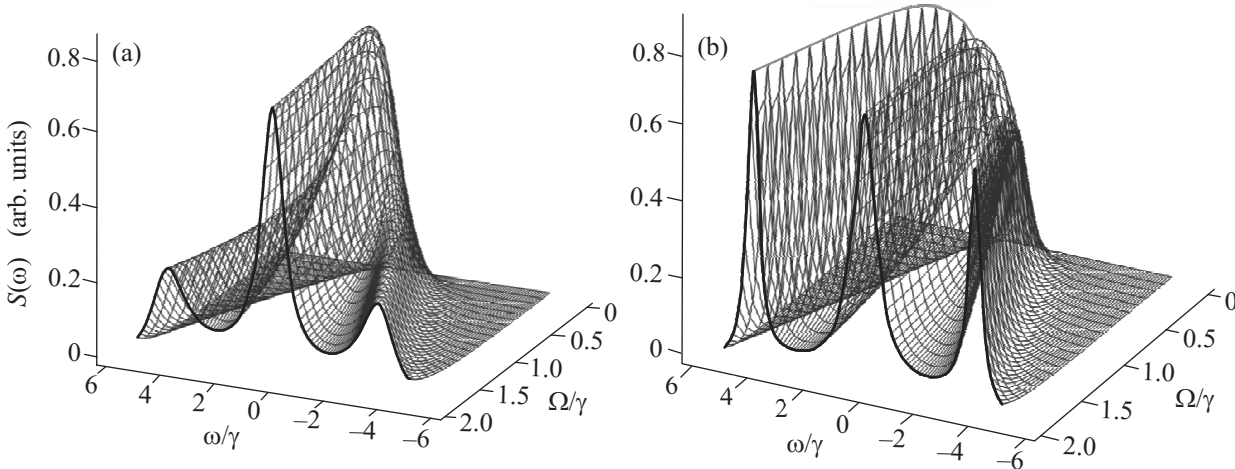
$$\begin{aligned} \frac{d}{dt}\hat{s}_+^{(\sigma)}(t) &= \\ i[\hat{H}^{(\sigma)}, \hat{s}_+^{(\sigma)}(t)] + \gamma\hat{s}_-\hat{s}_+^{(\sigma)}(t)\hat{s}_- - \frac{\gamma}{2}\{\hat{s}_+\hat{s}_-, \hat{s}_+^{(\sigma)}(t)\}. \end{aligned} \quad (4)$$

Здесь  $\bar{0} = 1$  и  $\bar{1} = 0$ . Данную систему следует решать при начальных условиях двух типов:

- 1)  $\hat{s}_+^{(0)}(t)|_{t=0} = \hat{s}_+$ ,  $\hat{s}_+^{(1)}(t)|_{t=0} = 0$ ;
- 2)  $\hat{s}_+^{(1)}(t)|_{t=0} = \hat{s}_+$ ,  $\hat{s}_+^{(0)}(t)|_{t=0} = 0$ .

Оба типа решений присутствуют в выражении для формы спектра, обобщающем (3):

$$\begin{aligned} S(\omega) \propto \text{Re} \int_0^\infty e^{i\omega t} \text{Tr}\{ &\hat{s}_-[\hat{\varrho}_{st}^{(0)}\hat{s}_+^{(0)}(t)|_1 + \\ + \hat{\varrho}_{st}^{(1)}\hat{s}_+^{(1)}(t)|_2 + \hat{\varrho}_{st}^{(0)}\hat{s}_+^{(1)}(t)|_1 + \hat{\varrho}_{st}^{(1)}\hat{s}_+^{(0)}(t)|_2]\} dt. \end{aligned} \quad (6)$$



Форма спектра резонансной флуоресценции без обратной связи (а) и с обратной связью (б) как функция  $\omega$  и частоты Раби  $\Omega$ . В случае обратной связи триплетная структура выражена значительно более резко, как и асимметрия, связанная с ненулевой расстройкой  $\Delta = -2\gamma/7$

Следующие соображения могут служить некоторым качественным обоснованием правила использования того или иного типа начальных условий при вычислении операторов  $\hat{s}_+^{(0)}(t)$  и  $\hat{s}_+^{(1)}(t)$  в (6). Как нетрудно убедиться, след произведения операторов из (3) является частью корреляционной функции дипольного момента атома. Оператор  $\hat{s}_-$  отвечает факту измерения дипольного момента в нулевой момент времени. При этом не происходит переключения фазы поля, т.к. спонтанный фотон в этот момент не регистрировался детекторами, связанными с системой обратной связи. В момент времени  $t$  происходит вторичное измерение дипольного момента. За это время может произойти четное или нечетное число переключений. Если в нулевой момент времени мы имели состояние  $\hat{\rho}_{st}^{(0)}$  и четность на интервале  $[0, t]$  не изменилась, что может, в частности, иметь место в отсутствие фотонов в системе обратной связи, мы используем оператор  $\hat{s}_+^{(0)}(t)|_1$ , представляющий второе измерение дипольного момента. Если четность изменилась, мы должны пользоваться оператором  $\hat{s}_+^{(1)}(t)$ . Ясно, что первое переключение фазы на интервале  $[0, t]$  произошло при некотором  $t' > 0$ . Поэтому следует считать, что  $\hat{s}_+^{(1)}(t) \rightarrow 0$  при  $t \rightarrow 0$ , т.е. использовать решение типа 1. Аналогичным образом можно пояснить происхождение остальных слагаемых в (6).

Вычисление правой части соотношения (6) с использованием (1) и (4) приводит к следующему результату:

$$S(\omega) \propto \frac{\Omega^2}{\gamma^2/4 + \Delta^2 + 2\Omega^2} \times \\ \times \operatorname{Re} \left( \frac{(\gamma/2 - i\Delta)(\omega + i\gamma)}{(\gamma/2 - i\omega - i\Delta)[\Lambda(\omega) + \gamma/2](\omega + i0)} + \right) \quad (7)$$

$$+ \frac{1}{\gamma/2 - i\omega - i\Delta} \left\{ 1 - \frac{2\Omega^2}{(\gamma/2 - i\omega - i\Delta)(\Lambda(\omega) - \gamma/2)} \right\} \right).$$

Здесь

$$\Lambda(\omega) = (\gamma/2 - i\omega) \left[ 1 + \frac{4\Omega^2}{(\gamma/2 - i\omega)^2 + \Delta^2} \right].$$

Первое слагаемое под знаком “Re” в правой части (7) содержит в знаменателе множитель  $\omega + i0$ , отвечающий наличию несмещенного бесконечно узкого пика. Знак мнимой части, задающий правильный обход полюса, следует из возможности добавить к частоте в (6) положительную мнимую часть без нарушения сходимости интеграла.

**Результаты.** На рисунке (б) представлен спектр резонансной флуоресценции при наличии обратной связи, вычисленный на основе (7). Для сравнения выше приведена форма хорошо известного триплета Раутиана–Моллоу в тех же условиях, но без обратной связи. В оба графика не включены сингулярные несмещенные структуры в спектрах. Обращают на себя внимание значительные качественные различия спектров. При наличии обратной связи триплетная структура выражена значительно более резко даже при малых значениях частоты Раби  $\Omega$ , т.е. за пределами секулярного приближения, когда боковые компоненты триплета в обычных условиях практически исчезают. Наличие обратной связи делает также крайне чувствительной симметрию триплетной структуры к частотной расстройке  $\Delta$ . Для вычислений выбрано значение  $\Delta = -2\gamma/7$ . При этом асимметрия обычного триплета Раутиана–Моллоу при  $\Omega \sim 2\gamma$  практически не заметна.

К сожалению, мы пока не можем предложить простого физического объяснения обнаруженных следствий наличия обратной связи. Желательно также исследовать статистику фотоиспусканий атома в различные компоненты триплета и сравнить ее с известными результатами [10, 11].

Один из авторов (И.Л.) пользовался финансовой поддержкой РФФИ (грант # 09-02-00801), Президиума СО РАН и программы Отделения физических наук РАН “Фундаментальная оптическая спектроскопия и ее приложения”.

1. H. Haken, *Light*, v. 2, *Laser Light Dynamic*, North-Holland Publishing Company, 1981.
2. R. van Handel, J. K. Stockton, and H. Mabuchi, IEEE Trans. Automat. Control **50**(6), 768 (2005).
3. A. Negretti, U. V. Poulsen, and K. Mølmer, Phys. Rev.

Lett. **99**, 223601 (2007).

4. H. M. Wiseman and G. J. Milburn, Phys. Rev. Lett. **70**, 548 (1993); H. M. Wiseman, Phys. Rev. A **49**, 2133 (1994).
5. A. Barchielli, M. Gregoratti, and M. Licciardo, Int. J. Quant. Inf. **6**, 581 (2008); Eur. Phys. Lett. **85**, 14006 (2009).
6. H. M. Wiseman, S. Manchini, and J. Wang, Phys. Rev. A **66**, 013807 (2002).
7. J. Gough and M. R. James, Commun. Math. Phys. **287**, 1109 (2009); J. Gough, R. Gohm, and M. Yanagisawa, Phys. Rev. A **78**, 062104 (2008).
8. V. Jacques, J. D. Murray, F. Marquier et al., arXiv: quant-ph/0707.3200 (2007).
9. Д. Е. Хорошко, С. Я. Килин, ЖЭТФ **117**, 844 (2000).
10. R. J. Cook, Phys. Rev. A **23**, 1243 (1981).
11. P. A. Apanasevich and S. Ja. Kilin, J. Phys. B **12**, L83 (1979).